



**UNIVERSIDADE ESTADUAL PAULISTA**  
**“JÚLIO DE MESQUITA FILHO”**  
Campus de São José do Rio Preto

# **Algoritmos Genéticos**

---

**Computação Inspirada pela Natureza**

Aluno: Samuel de Souza Lopes

Professor: Dr. Fabricio Aparecido Breve

2018

# 1. Introdução e Objetivos

Desde os primórdios da computação, diversos cientistas buscam criar inteligência e vida artificial. Alan Turing, John von Neumann, Norbert Wiener, entre outros cientistas da computação foram motivados principalmente em criar programas de computador providos de inteligência, com a habilidade semelhante à vida de se reproduzir e com a capacidade de aprendizado adaptativo e de controlar seus ambientes. Esses pioneiros da ciência da computação estavam tão interessados em biologia e psicologia quanto em eletrônica, e olhavam para os sistemas naturais como metáforas orientadoras de como alcançar suas visões. Essas atividades de computação biologicamente motivadas aumentaram e diminuíram ao longo dos anos, mas desde o início da década de 1980 passaram por um ressurgimento na comunidade de pesquisa em computação. Dentre essas atividades, a computação evolucionária, da qual os algoritmos genéticos estão presentes, é um campo bastante explorado (MITCHELL, 1998). Tais algoritmos são simulações dos conceitos de seleção natural como crossover e mutação para resolver problemas de otimização. Esta classe de algoritmos evolutivos são os mais antigos, conhecidos e amplamente utilizados (SIMON, 2013). Sua versão mais popular foi apresentada em 1975 por J. Holland (DE CASTRO, 2006).

Diante do exposto, o objetivo deste trabalho é mostrar três aplicações relacionadas a algoritmos genéticos, a saber: Reconhecimento de Padrões, Maximização de Funções e Minimização de Funções. Na seção 2, os detalhes das implementações, bem como os testes e resultados são mostrados. Por fim, na seção 3 são feitas conclusões acerca do trabalho.

## 2. Aplicações

Nesta seção são detalhadas as implementações de três aplicações relacionadas a algoritmos genéticos, a saber: reconhecimento de padrões, maximização de funções e minimização de funções. A linguagem de programação e o ambiente de desenvolvimento utilizado foram *Python* e *PyCharm*, respectivamente.

Ao final de cada implementação, foram feitos testes e os resultados obtidos foram discutidos. Vale ressaltar que os algoritmos implementados são estocásticos, ou seja, com

diferentes execuções os gráficos e valores ótimos encontrados podem variar. As especificações do computador utilizado para fazer os testes de execução dos algoritmos implementados é:

- **Processador:** Intel® Core™ i3-3217U CPU @ 1.80GHz × 4;
- **Memória RAM:** 4 GB;
- **Placa de Vídeo:** Intel® Ivybridge Mobile (integrada)
- **Sistema Operacional:** Ubuntu 16.04 LTS.

## 2.1. Reconhecimento de padrões

O objetivo desta aplicação é implementar um algoritmo genético que reconheça o padrão, representado pela *bitstring*, [1 1 1 1 0 1 1 0 1 1 1], sendo que a população utilizada é composta por 8 indivíduos.

### Detalhamento do algoritmo

Para a implementação deste algoritmo, cada indivíduo é representado por uma *bitstring* de 12 caracteres, sendo que a população é representada por uma matriz de 8 linhas e 12 colunas, onde cada linha representa um indivíduo da população.

Inicialmente, o algoritmo cria uma população aleatória e seus indivíduos são avaliados. A função de aptidão avalia os indivíduos desta população, calculando a quantidade de bits iguais entre cada indivíduo da população e o padrão a ser reconhecido. Quanto maior a semelhança entre o indivíduo e o padrão, maior é a sua aptidão. Caso algum indivíduo seja igual ao padrão procurado, ou seja, a aptidão do indivíduo é 12, a execução do algoritmo é encerrada. Caso contrário, o algoritmo executa a etapa de seleção em que é selecionado inicialmente, via elitismo, os dois indivíduos da população atual com maior aptidão para compor a geração subsequente. Os outros indivíduos da geração seguinte são selecionados via torneio, em que 3 indivíduos da população são escolhidos aleatoriamente para formar uma sub-população temporária. Deste grupo, o indivíduo com a melhor aptidão é selecionado para compor a geração subsequente. Esta técnica é executada seis vezes, sendo que seis indivíduos são selecionados e se juntam aos outros dois indivíduos selecionados via elitismo para compor a nova população. Esta nova população pode passar por crossover ou por mutação, de forma a modificar os bits que a representam. O tipo de crossover utilizado foi o de 1 ponto, em que

apenas um ponto de crossover é selecionado em ambos os pais e todos os bits além do ponto são trocados entre os progenitores, gerando dois filhos. Ao final da iteração, a nova população é avaliada e se algum indivíduo for igual ao padrão, o algoritmo retorna a quantidade de iterações necessárias para encontrá-lo. Caso contrário, a etapa de seleção é iniciada, onde a entrada é a nova população.

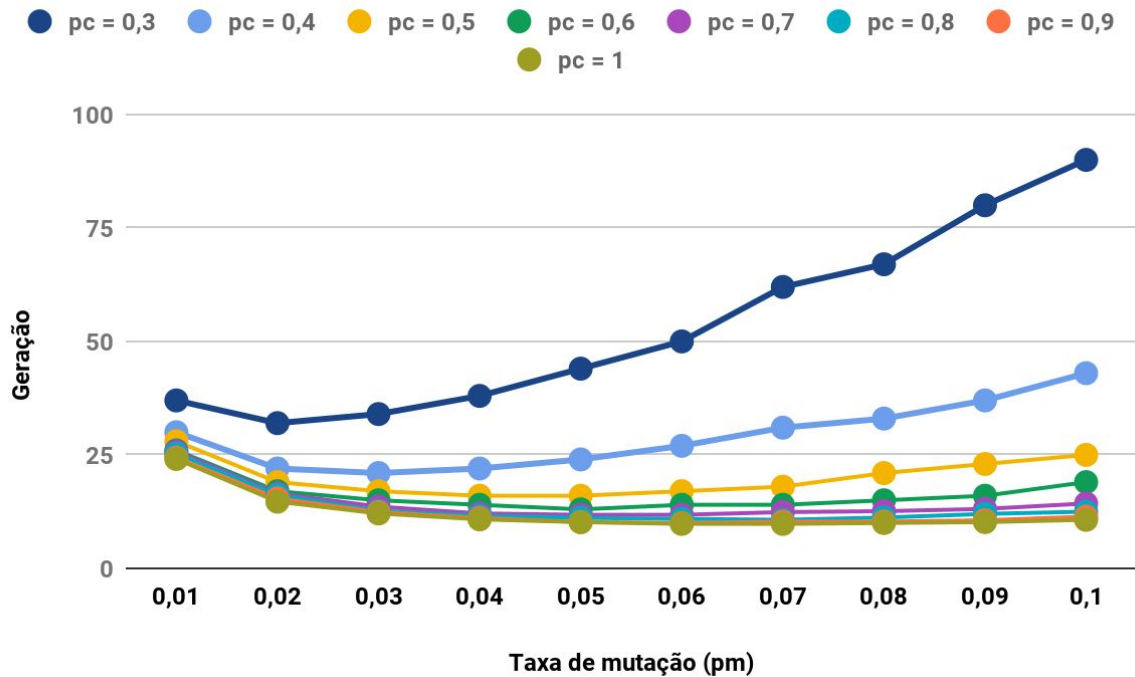
## **Experimentos e Testes**

Ao final da implementação do algoritmo, testes foram feitos, sendo divididos em 3 etapas, a saber:

1. Desempenho do algoritmo em diferentes taxas de crossover e mutação, bem como o número de iterações e o tempo que os algoritmos demoram para encontrar o padrão;
2. Comportamento do algoritmo em situações que ocorre apenas crossover ou apenas mutação;
3. Gráfico que mostre o valor mínimo, máximo e médio da função de aptidão ao longo das iterações.

Na etapa 1, o algoritmo foi testado com diferentes taxas de crossover (pc) e mutação (pm), de forma a identificar os valores de pc e pm que maximizem o desempenho do algoritmo. A Figura 1 mostra um gráfico contendo a média de 1500 execuções do algoritmo em diferentes combinações de pc e pm, onde o eixo horizontal representa as taxas de pm e o eixo vertical representa a média de gerações necessárias para encontrar o padrão em cada combinação de pc e pm. É possível perceber que quanto maior o valor de pc, menos gerações são necessárias para encontrar o padrão, sendo que os melhores valores de pc estão no intervalo [0,7; 1] e de pm no intervalo [0,6; 0,1]. Nos testes de execução, a melhor média foi de 9,8 iterações para encontrar o padrão, com desvio padrão de 4,54, onde pc e pm valiam 1 e 0,07, respectivamente.

Figura 1: Execução do algoritmo com diferentes valores de pc e pm



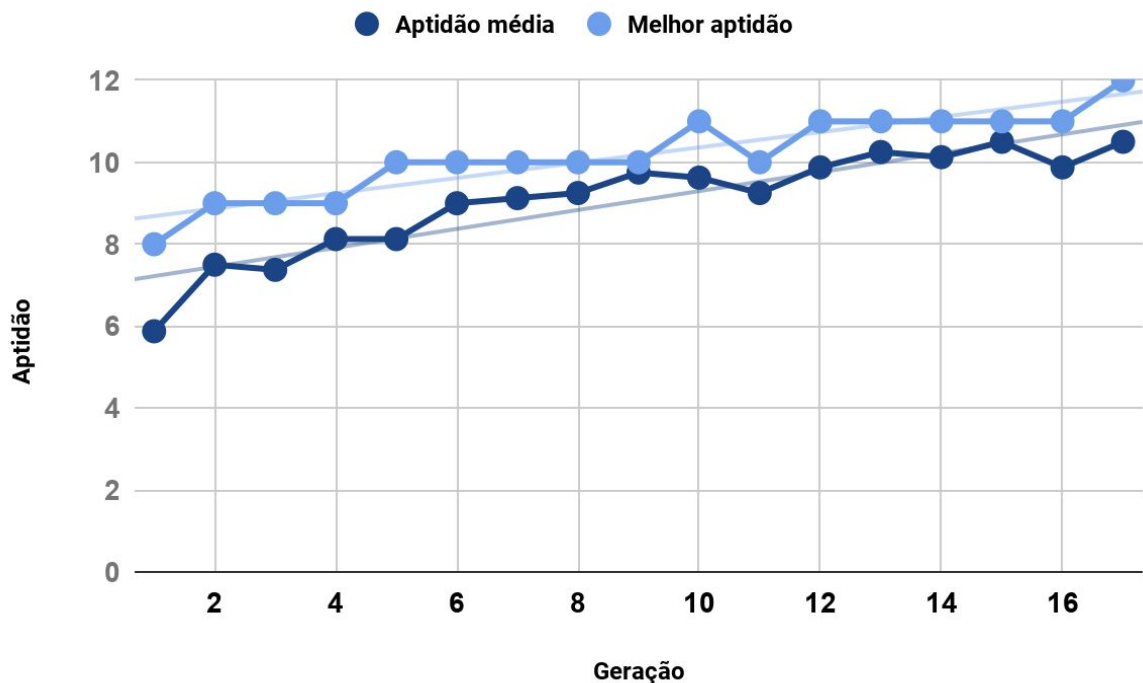
Fonte: Elaborado pelo próprio autor.

Na etapa 2, o algoritmo foi executado em condições onde promove apenas crossover e apenas mutação nas populações geradas ao longo das iterações, sendo atribuídos os valores 1 e 0,07 a pc e pm, respectivamente. Quando há apenas crossover, a aptidão mínima, média e máxima não é alterada ao longo das iterações e, conseqüentemente, o algoritmo não encontra o padrão. Isto ocorre porque a mutação previne que uma dada população fique estagnado em um valor, além de possibilitar que se chegue em qualquer ponto do espaço de busca. Quando o valor de pm é igual a 0, o algoritmo não consegue gerar indivíduos que consigam explorar novos pontos do espaço de busca, fazendo com que tanto a aptidão mínima, média e máxima fiquem estagnadas ao longo das iterações. Por sua vez, quando há apenas mutação, o algoritmo consegue encontrar o padrão. Como a mutação garante a introdução e manutenção da diversidade genética na população, o algoritmo encontra o padrão, porém necessita de mais iterações para encontrá-lo. Executando 100 testes e atribuindo aos parâmetros pc e pm os valores 0 e 0,7, respectivamente, o algoritmo executou, em média, mais de 1000 iterações para encontrar o padrão. Isto era esperado pois, mesmo sem crossover, a mutação permitiu a introdução e a manutenção da diversidade genética dos indivíduos ao longo da iteração,

porém a falta de crossover diminuiu a velocidade de mudança dos indivíduos ao longo das gerações.

Na etapa 3, o algoritmo foi executado com os valores atribuídos a pc e pm foram 1 e 0,09, respectivamente, sendo que a melhor aptidão e a aptidão média, ao longo das iterações, foram armazenadas. Por meio da Figura 2, que mostra um gráfico onde o eixo horizontal representa as gerações e o eixo vertical mostra a maior aptidão e a aptidão média, é possível observar que tanto a aptidão máxima quanto a média aumentam ao longo das iterações. Isto ocorre porque o elitismo assegura que os indivíduos mais aptos estarão presentes nas gerações subsequentes, garantindo que tanto a aptidão média quanto a máxima tendam a aumentar ao longos das gerações.

Figura 2: Melhor aptidão e aptidão média ao longo das iterações



Fonte: Elaborado pelo próprio autor.

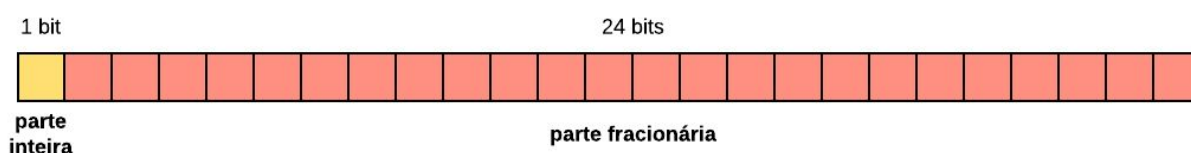
## 2.2. Maximização de funções

O objetivo da aplicação 2 é implementar um algoritmo genético que maximize a função  $g(x) = 2^{-2((x-0.1)/0.9)^2}(\sin(5\pi x))^6$  no intervalo contínuo  $[0,1]$ , utilizando uma representação de *bitstring*. Neste intervalo, o valor máximo de  $g(x)$  é 1.

## Detalhes da implementação do algoritmo

A população utilizada é composta por 30 indivíduos, sendo que cada indivíduo é representado por uma *bitstring*, em que a parte inteira é representada por 1 bit e a parte fracionária é representada por 24 bits, conforme mostra a Figura 3. Para que os valores de  $x$  possam ter precisão de 7 casas decimais, foi necessário utilizar 24 bits para representar a parte fracionária.

Figura 3: Representação de um indivíduo da população.



Fonte: Elaborado pelo próprio autor.

Inicialmente, o algoritmo cria uma população aleatória e seus indivíduos são avaliados. A função de aptidão avalia os indivíduos da população, convertendo-os para valores decimais e calculando  $g(x)$ , sendo que os indivíduos mais aptos são os que possuem maior valor de  $g(x)$ . Estes valores são utilizados para selecionar os indivíduos mais aptos para compor a geração subsequente. Na etapa de seleção, os dois indivíduos mais aptos são selecionados, via elitismo, para compor a nova população. Os outros indivíduos da nova população são selecionados via torneio, como utilizado na Aplicação 1, sendo que o critério de seleção é o indivíduo com maior valor de  $g(x)$ . Com a nova população formada, seus indivíduos podem passar pelos processos de crossover de 1 ponto e mutação e, após passar pelos dois processos, a nova população é avaliada e caso os últimos 1000 valores de  $g(x)$  calculados forem diferentes em menos de  $10^{-7}$ , o algoritmo entende que houve convergência, retornando o maior valor de  $g(x)$ .

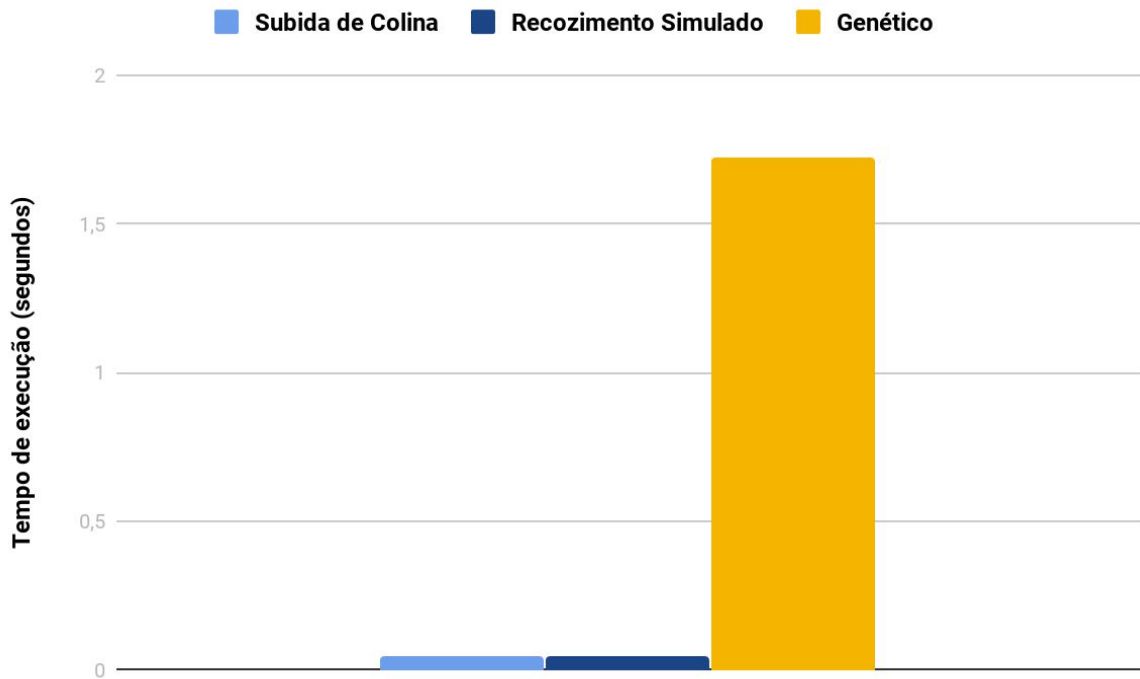
## Experimentos e Testes

Ao final da implementação do algoritmo, testes foram feitos, sendo divididos em 2 etapas, a saber:

1. Comparação com os resultados obtidos com os algoritmos subida da colina e recozimento simulado;

2. Gráficos que mostrem o valor máximo e médio da função de aptidão ao longo das iterações.

Figura 4: Tempo de execução dos algoritmos até convergir.



Fonte: Elaborado pelo próprio autor.

Na etapa 1, os algoritmos subida de colina e recozimento simulado foram testados para calcular  $\max g(x)$  - máximo global de  $g(x)$ . Os dois algoritmos utilizam o mesmo critério de convergência utilizado no algoritmo genético proposto, sendo que foram feitos 20 testes em cada algoritmo. Pela Tabela 1, é possível perceber que os valores de  $\max g(x)$  propostos pelo algoritmo genético estão mais próximos e menos dispersos de 1 do que os resultados propostos pelo subida de colina e recozimento simulado, atingindo eficácia de 90%. No entanto, a Tabela 1 e a Figura 4 mostram que o algoritmo genético possui custo computacional significativamente maior se comparado aos outros algoritmos estudados pois, mesmo executando quantidades parecidas de iterações, o algoritmo genético demanda mais tempo para executar seus passos. A principal diferença entre essas três abordagens é que os algoritmos evolutivos são técnicas de pesquisa baseadas em população, enquanto o subida de colina e recozimento simulado trabalham com um único indivíduo. Assim, como o algoritmo



genético implementado avalia 30 indivíduos a cada iteração, além de executar funções de crossover e de mutação para perturbar os bits da população ao longo das gerações, o algoritmo genético executa mais passos que os outros algoritmos estudados pois tanto o subida de colina quanto o recozimento simulado avaliam e perturbam apenas 1 valor de  $x$  a cada iteração.

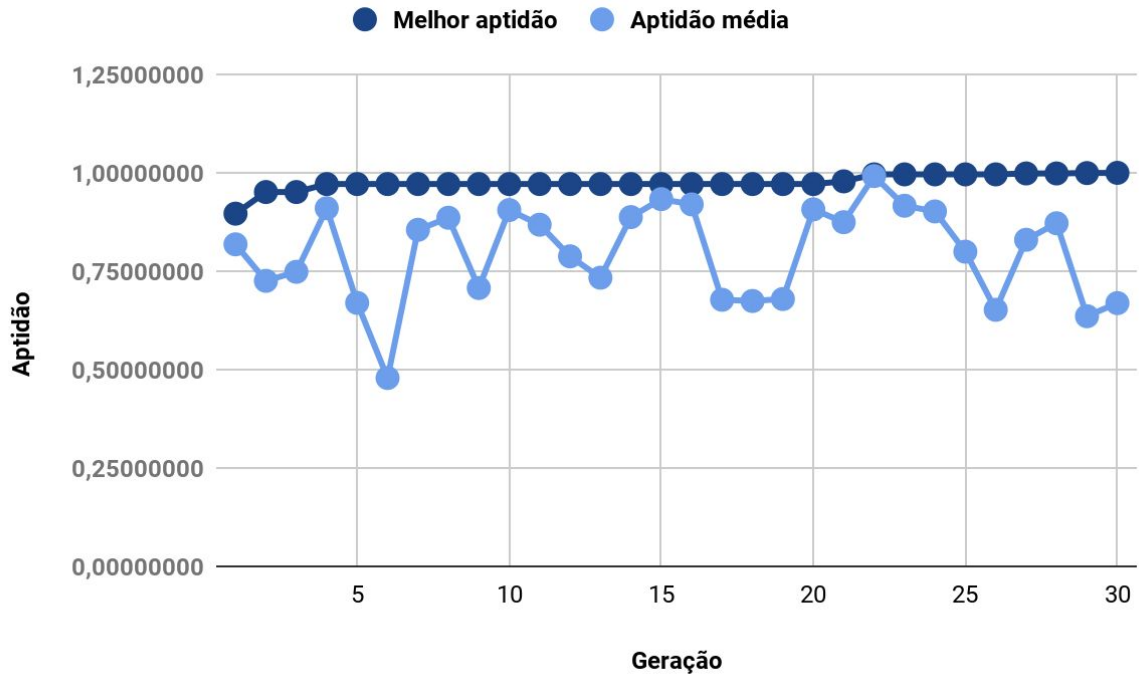
Tabela 1: Comparativo entre os algoritmos estudados

	Subida de Colina	Recozimento Simulado	Genético
Porcentagem de vezes que o algoritmo atingiu valores próximos a $\max g(x)$	25%	30%	90%
Média dos valores de $\max g(x)$	0,65852084	0,7310754	0,9919669
Desvio padrão dos valores de $\max g(x)$	0,2387436	0,2419547	0,0203046
Tempo médio de execução (segundos)	0,0440546	0,0501303	2,8780335
Média de iterações para convergir	1486,25	1468,9	1756
Desvio padrão para convergir	338,73	292,32	634,29

Fonte: Elaborado pelo próprio autor.

Por fim, na etapa 2 o algoritmo foi executado para verificar o comportamento da melhor aptidão e da aptidão média ao longo das gerações, conforme ilustrado na Figura 5, onde o eixo horizontal representa as gerações e o eixo vertical representa o melhor valor e o valor médio da função de aptidão. É possível observar que a melhor aptidão tende a aumentar ao longo das gerações, de forma a predominar os indivíduos da população mais aptos ao longo do tempo, ou seja, indivíduos que possuam os valores de  $x$  que, aplicados a  $g(x)$ , gerem valores próximos a 1. O valor médio de aptidão oscila ao longo das gerações pois a busca por uma melhor aptidão é feita ao longo de toda a execução, sendo que a melhor aptidão é pouco alterada por conta do elitismo.

Figura 5: Melhor aptidão e aptidão média ao longo das iterações.



Fonte: Elaborado pelo próprio autor.

## 2.3. Minimização de funções

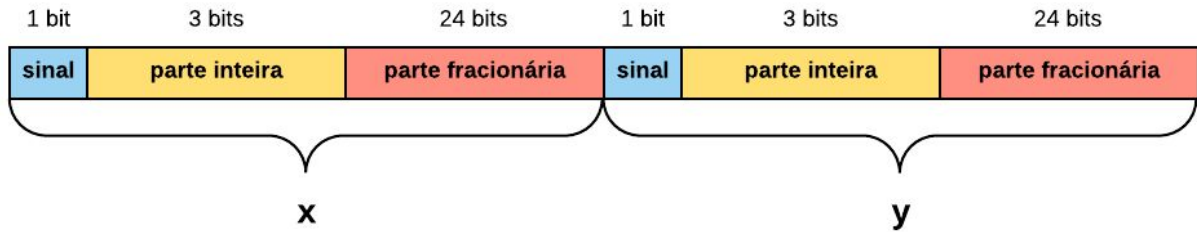
O objetivo da aplicação 3 é implementar um algoritmo genético que minimize a função  $f(x,y) = (1-x)^2 + 100(y-x^2)^2$ , onde  $x$  e  $y$  variam no intervalo  $[-5, 5]$ , utilizando uma representação de *bitstring*. Neste intervalo, o valor mínimo de  $f(x,y)$  é 0.

### Detalhamento do algoritmo

A população utilizada é composta por 30 indivíduos, sendo que cada indivíduo é representado em uma linha da matriz da população. Conforme mostra a Figura 6, cada indivíduo armazena uma dupla  $(x,y)$ , sendo que  $x$  e  $y$  são compostos pelo bit de sinal, onde 0 indica que o valor é negativo e 1 indica que é positivo; pela parte inteira, representado por 3 bits; e pela parte fracionária, representado por 24 bits. Assim como na aplicação anterior, o resultado obtido possui precisão de 7 casas decimais.

Este algoritmo foi implementado de forma similar a Aplicação 2, porém, como o objetivo é minimizar  $f(x,y)$ , o elitismo seleciona os menores valores de  $f(x,y)$ , assim como os menores valores são selecionados via torneio.

Figura 6: Representação de um indivíduo da população.

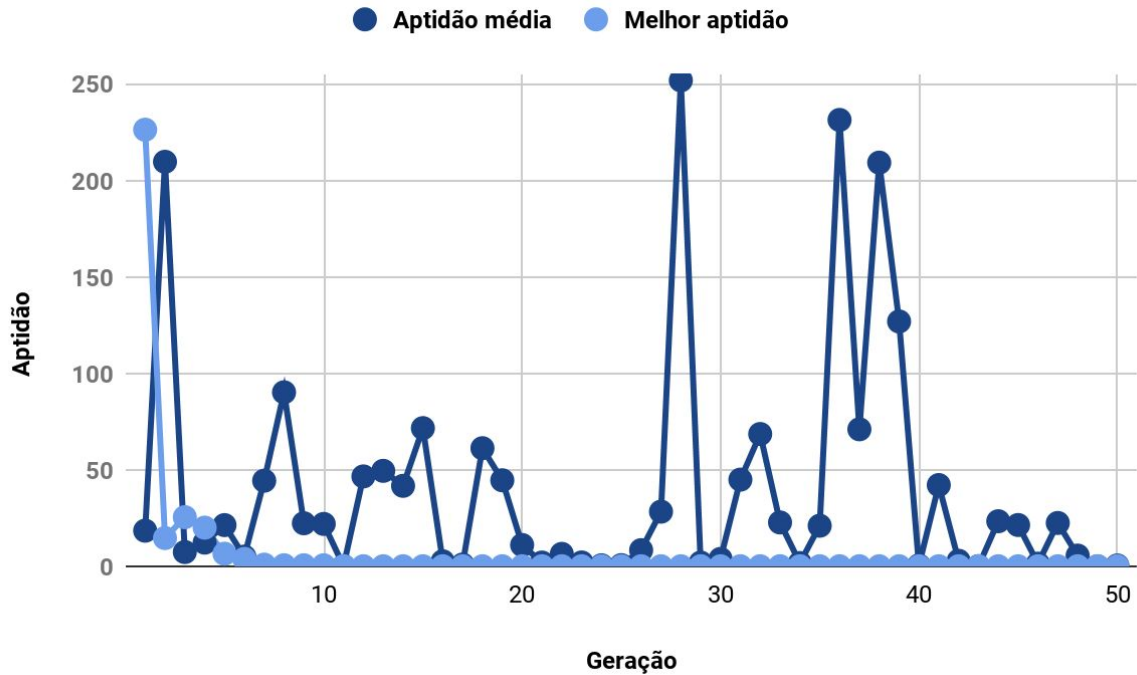


Fonte: Elaborado pelo próprio autor.

## Experimentos e Testes

Ao final da implementação do algoritmo, o mesmo foi executado para verificar o comportamento do valor máximo e médio da função de aptidão ao longo das primeiras 35 gerações, conforme ilustrado na Figura 7, que mostra a variação da melhor aptidão e da aptidão média dos elementos a cada geração. É possível observar que a aptidão média tende a diminuir para valores próximos a zero já nas primeiras gerações, mostrando a predominância dos indivíduos da população mais aptos ao longo do tempo, ou seja, indivíduos que possuam os valores de  $x$  e  $y$  que, aplicados a  $f(x,y)$ , gerem valores próximos a 0. Multiplicando a aptidão média por  $10^{-2}$ , é possível perceber que os valores médios de aptidão oscilam ao longo das gerações. Isto ocorre porque a busca por uma aptidão melhor é contínua, sendo que a melhor aptidão é pouco alterada por conta do elitismo.

Figura 7: Melhor aptidão e aptidão média ao longo das iterações.



Fonte: Elaborado pelo próprio autor.

### 3. Conclusões

O algoritmo de reconhecimento de padrões obteve melhor desempenho quando as taxas de crossover e mutação estiveram no intervalo  $[0,7; 1]$  e  $[0,06; 0,09]$ , respectivamente. Para encontrar uma *bitstring* de 12 bits no espaço de busca gerado, o algoritmo foi bastante eficaz já que necessitou, em média, 10 iterações, com desvio padrão menor que 5, quando os valores atribuídos às taxas de mutação e crossover foram 1 e 0,9, respectivamente. O algoritmo só é eficaz se encontrar o padrão. Assim, quanto mais explorado é o espaço de busca, melhor é o desempenho do algoritmo pois altas taxas de crossover aumentam as chances de novos indivíduos surgirem na população.

Para maximizar funções, o algoritmo genético se mostrou mais eficaz do que o subida de colina e o recozimento simulado já que, mesmo executando uma quantidade parecida de iterações e utilizando o mesmo critério de convergência, o algoritmo genético, seguido do recozimento simulado, convergiu para valores próximos do máximo global da função mais vezes do que o subida de colina. Devido a natureza estocástica, o recozimento simulado e o algoritmo genético são capazes de escapar de soluções ótimas locais. A exploração mais

ampla do espaço de busca no algoritmo genético é realizada pelo uso de múltiplos indivíduos e operadores genéticos, que permitem a criação de indivíduos com valores distintos e também o compartilhamento de características com seus pais. Enquanto o subida de colina e o recozimento simulado geram novos pontos candidatos na vizinhança do ponto atual, o algoritmo genético permite a análise de pontos na vizinhança de duas ou mais soluções candidatas através do uso de operadores genéticos, como crossover e mutação (DE CASTRO, 2006).

Por fim, o algoritmo genético que objetiva minimizar  $f(x,y)$  foi implementado. Efetuando 100 testes de execução, onde 300 iterações foram executadas em cada execução, o algoritmo se mostrou eficaz pois o valor médio do mínimo global de  $f(x,y)$  obtido foi de 0,2618372, com um desvio padrão de 0,3912464. Assim, podemos concluir que o algoritmo converge para valores próximos ao mínimo global em poucas gerações.

Diante do exposto, o que se pode concluir é que algoritmos genéticos são uma boa opção para resolver problemas que não apresentam uma única solução, além de simplificar a formulação e solução de problemas de otimização. Se o objetivo é obter soluções ótimas próximas ao ideal, como no problema de minimização de funções, algoritmos genéticos podem contribuir para encontrar soluções ótimas para esta classe de problemas.

## 4. Referências Bibliográficas

- DE CASTRO, Leandro Nunes. **Fundamentals of natural computing: basic concepts, algorithms, and applications**. CRC Press, 2006.
- MITCHELL, Melanie. **An introduction to genetic algorithms**. MIT press, 1998.
- SIMON, Dan. **Evolutionary optimization algorithms**. John Wiley & Sons, 2013.